

Experimentell: Magische Zahlen

- größere Bindungsenergien als im Tröpfchenmodell erwartet
- besonders hohe Anregungsenergien,
- besonders viele stabile und langlebige Isotope

⇔ **Schalen** (besonders stabile Kern-Konfigurationen)

- **Schalen-Modell:**

- Zentralsym. "mean-field"-Potential (Näherung)

- Teilchen werden als unabhängig behandelt

⇔ Lösen der Schrödingergleichung

1) H.O.-Potential, 2) Woods-Saxon-Potential

⇒ Nur die ersten 3 magischen Zahlen (2,8,20) werden reproduziert

⇔ **Ganz entscheidend: Berücksichtigung der Spin-Bahn-Kopplung** (≠ Atom)

⇒ Erklärt die Magischen Zahlen ↔ Schalenabschlüsse

- Ein-Teilchen-, Ein-Lochzustände

⇒ Bestimmung der Quantenzahlen J^P der Kern-Grundzustände

(Drehimpulse von vollständig gefüllten Schalen koppeln zu null!)

229

Magnetische Momente im Schalenmodell

Schalenmodell: Nukleonen wird Spin und Bahndrehimpuls zugeordnet

⇒ berechnen der magnetischen Momente

- Bahndrehimpuls- und Spinanteil

$$\vec{\mu}_{Kern} = \mu_N \cdot \frac{1}{\hbar} \sum_{i=1}^A \left(\vec{\ell}_i g_\ell + \vec{s}_i g_s \right)$$

$g_\ell = 1$ für Protonen

$g_\ell = 0$ für Neutronen

$g_s = +5.58$ für Protonen

$g_s = -3.83$ für Neutronen

$^{16}_8\text{O}_8$: magnetisches Moment = 0

$$\vec{\mu}_{Kern} = \frac{1}{\hbar} \langle \Psi_{Kern} | g_\ell \vec{\ell} + g_s \vec{s} | \Psi_{Kern} \rangle \cdot \mu_N$$

für Ein-Teilchen-, Ein-Loch-Zustände:
Magnetisches Moment wird durch
das Valenz-Nukleon, -Loch bestimmt

Wigner Eckart-Theorem:

Erwartungswert eines Vektors = Erwartungswert der Projektion dieser Größe auf den Gesamtdrehimpuls (hier Kernspin J)

$$g_{Kern} = \frac{\langle JM_J | g_\ell \vec{\ell} \vec{J} + g_s \vec{s} \vec{J} | JM_J \rangle}{\langle JM_J | \vec{J}^2 | JM_J \rangle}$$

230

Magnetische Momente im Schalenmodell

Wigner Eckart-Theorem:

Erwartungswert eines Vektors = Erwartungswert der Projektion dieser Größe auf den Gesamtdrehimpuls (hier Kernspin J)

$$g_{Kern} = \frac{\langle JM_J | g_\ell \vec{\ell} \vec{J} + g_s \vec{s} \vec{J} | JM_J \rangle}{\langle JM_J | \vec{J}^2 | JM_J \rangle}$$

Im Modell: J (Kern) = j des einzelnen Nukleons:

$$(\text{mit: } \vec{j} = \vec{\ell} + \vec{s}, \quad \vec{j} - \vec{\ell} = \vec{s} \Rightarrow \vec{j}^2 + \vec{\ell}^2 - 2\vec{\ell}\vec{j} = \vec{s}^2, \dots)$$

$$g_{Kern} = \frac{g_\ell [j(j+1) + \ell(\ell+1) - s(s+1)] + g_s [j(j+1) + s(s+1) - \ell(\ell+1)]}{2j(j+1)}$$

$$\vec{\mu}_{Kern} = g_{Kern} \cdot \mu_N \cdot \frac{\langle \vec{J} \rangle}{\hbar}$$

Magnetisches Moment des Kernes: Wert, der bei maximaler Ausrichtung des Kernspins gemessen wird: $|M_J| = J \Rightarrow \langle \vec{J} \rangle = J\hbar$

$$\frac{\mu_{Kern}}{\mu_N} = g_{Kern} \cdot J = \left(g_\ell \pm \frac{g_s - g_\ell}{2\ell + 1} \right) \cdot J$$

für $J = j = \ell \pm 1/2$

231

Magnetische Momente im Schalenmodell

Nuclei	State	J^P	μ/μ_N -model	μ/μ_N -exp.
^{15}N	p- $1p_{1/2}^{-1}$	$1/2^-$	-0.264	-0.283
^{15}O	n- $1p_{1/2}^{-1}$	$1/2^-$	+0.638	+0.719
^{17}O	n- $1d_{5/2}$	$5/2^+$	-1.913	-1.894
^{17}F	p- $1d_{5/2}$	$5/2^+$	+4.722	+4.793

Beispiel mit guter Übereinstimmung

(doppelt magische Kerne +/- 1, kleine A
 \Rightarrow Effekt der Polarisierung des Kernes durch das Valenznukleon klein)

Nicht der Fall für schwerere Kerne:

Annahme, dass das magnetische Moment nur durch die Valenznukleonen bestimmt wird, vereinfacht die Situation zu stark.

In schweren Kernen polarisieren die Valenznukleonen den Kernrumpf

232

Bisher: Ein-Teilchen-, Ein-Loch-Zustände in einem kugelsym. Potential

⇔ gut für Kerne nahe an doppelt magischen Kernen

⇔ schlecht für Kerne mit halb gefüllten Schalen

Deformierte Kerne:

- Potential nicht mehr kugelsymmetrisch

Idee: Mehrere Nukleonen in halb gefüllten Schalen

=> Nukleonen können verschiedene Zustände einnehmen (Ort, Spin)

Atom: => Hund'sche Regel

Kern: Anziehung zwischen den Nukleonen:

Nukleonen bevorzugen eine Ordnung in Paaren mit der gleichen räumlichen Wellenfunktion und Drehimpuls null.

$$\mathbf{l}_1 = \mathbf{l}_2, \quad \mathbf{m}_1 = -\mathbf{m}_2, \quad \mathbf{j}_1 + \mathbf{j}_2 = 0$$

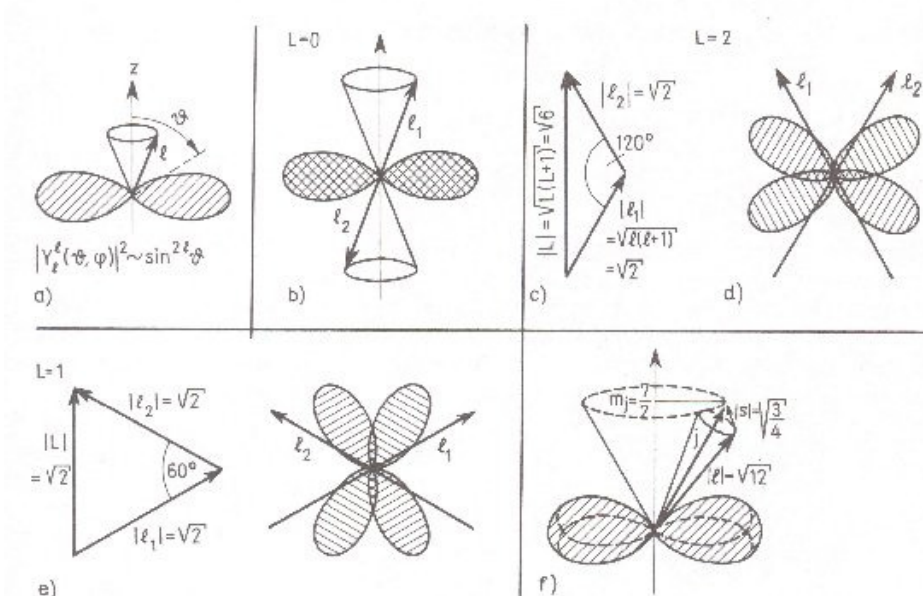
Paarungsenergie

233

Rest-Wechselwirkung - Paarungskräfte

Rest-Wechselwirkungen: kleiner Beitrag zur Gesamtbindungsenergie des Nukleons, aber wichtig für die Kopplung der Valenznukleonen

=> Kerneigenschaften, wie Spin, magn.Moment, oder das Quadrupolmoment

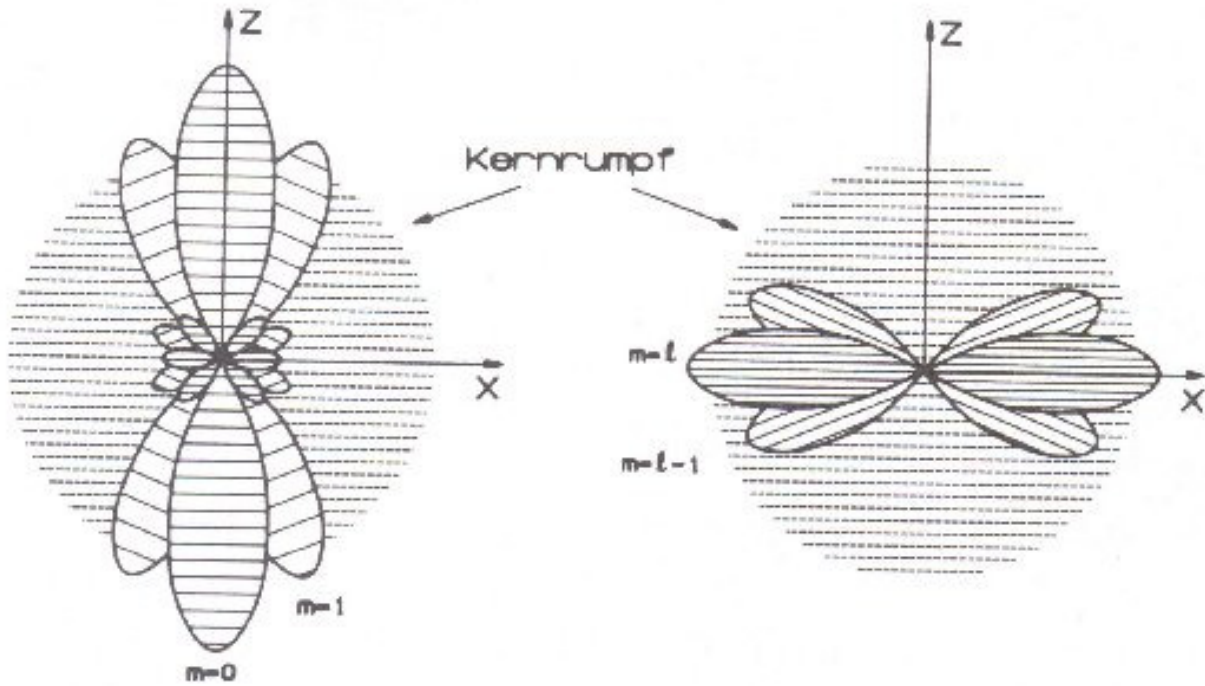


**Nukleonen bevorzugen benachbarte Orbits
=> Deformation**

⇔ Größter Überlapp der Wellenfunktionen zweier Nukleonen bei antiparalleler Einstellung der Bahndrehimpulse (Kopplung zu 0)

$$\mathbf{l}_1 = \mathbf{l}_2, \quad \mathbf{m}_1 = -\mathbf{m}_2, \quad \mathbf{j}_1 + \mathbf{j}_2 = 0 \quad \text{größere Stabilität der Kerne}$$

234

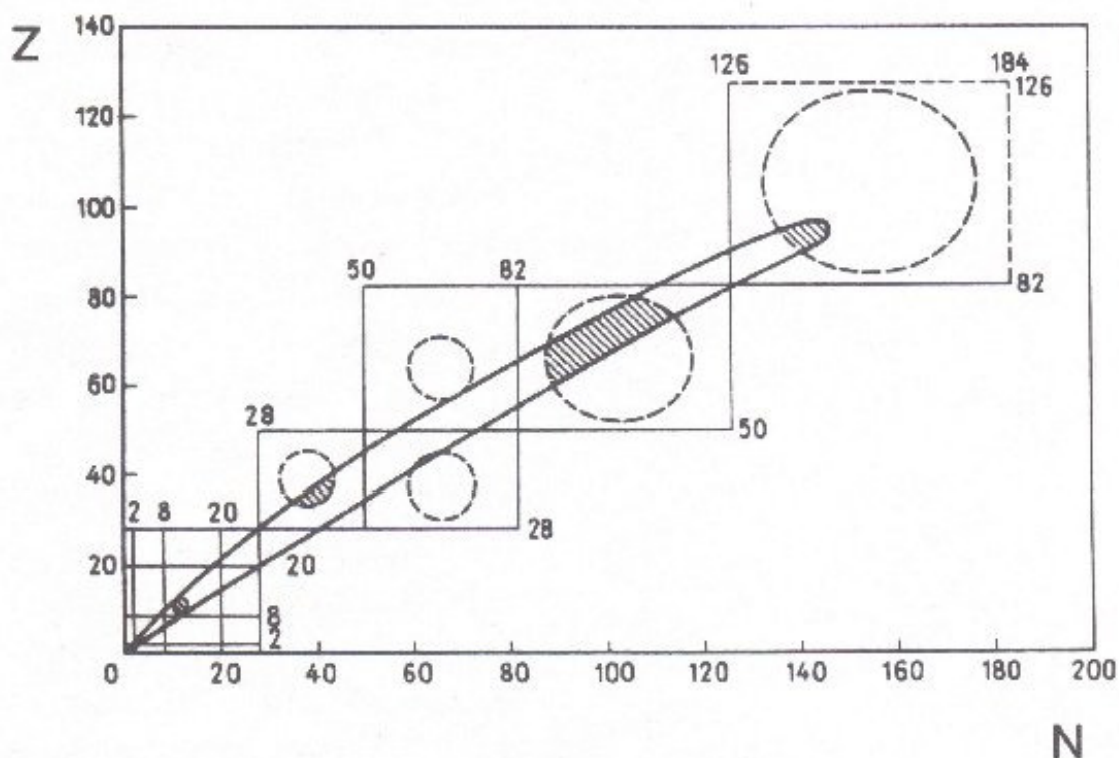


Nukleonenpaare besetzen bevorzugt benachbarte Orbitale
 => bei halbgefüllten Schalen - Deformation

235

Deformation

Deformation in N,Z-Bereichen weit entfernt von den magischen Zahlen



236

Ein Blick ins Nukleon

- Inelastische Streuung
- Tief inelastische Streuung
 - Strukturfunktionen
 - Scaling
 - Partonen im Nukleon
 - Spin der Partonen
 - ...

237

Elastische Elektronenstreuung an Kernen / am Nukleon

Zusammenfassung / Wiederholung:

Differentieller Wirkungsquerschnitt für die Streuung von Elektronen an einem Atomkern mit Kernladungszahl Z (magn. Moment vernachlässigt)

$$\left(\frac{d\sigma}{d\Omega}\right) = \frac{Z^2 \alpha^2 (\hbar c)^2 \cos^2\left(\frac{\theta}{2}\right)}{4E^2 \sin^4\left(\frac{\theta}{2}\right) \left[1 + \frac{2E}{M_A c^2} \sin^2\left(\frac{\theta}{2}\right)\right]} \cdot |F(q^2)|^2 \quad (\beta \rightarrow 1)$$

Rosenbluth-Formel: Streuung eines e^- am (ausgedehntem) Nukleon mit magnetischem Moment

$$\left(\frac{d\sigma}{d\Omega}\right) = \left(\frac{d\sigma}{d\Omega}\right)_{\text{Mott}} \cdot \left\{ \frac{G_E^2(Q^2) + \tau G_M^2(Q^2)}{1 + \tau} + 2\tau G_M^2(Q^2) \tan^2(\theta/2) \right\} \quad \tau = \frac{Q^2}{4M^2 c^2}$$

238

Inelastische Elektronenstreuung am Nukleon

- a) Angeregte Zustände des Nukleons
- b) Tiefinelastische Elektron-Nukleon Streuung \Leftrightarrow Struktur des Nukleons

Wie bei Kernen werden auch in der Elektronenstreuung am Nukleon weitere Maxima zusätzlich zur elastischen Streuung beobachtet.

bei Kernen: Aussage über Struktur des aus Nukleonen zusammengesetzten Systems

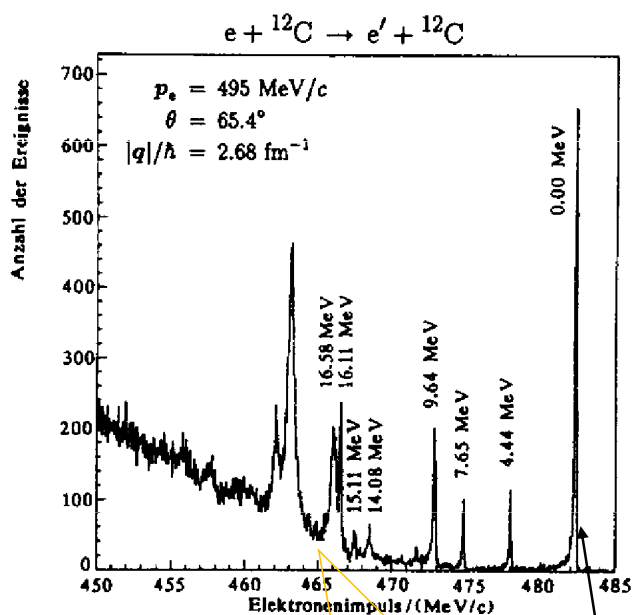
bei Nukleonen: Nukleon besitzt Substruktur

→ kurzlebige angeregte Zustände: „Resonanzen“ $\Gamma = \frac{\hbar}{\tau}$

239

Inelastische Elektronenstreuung am Nukleon

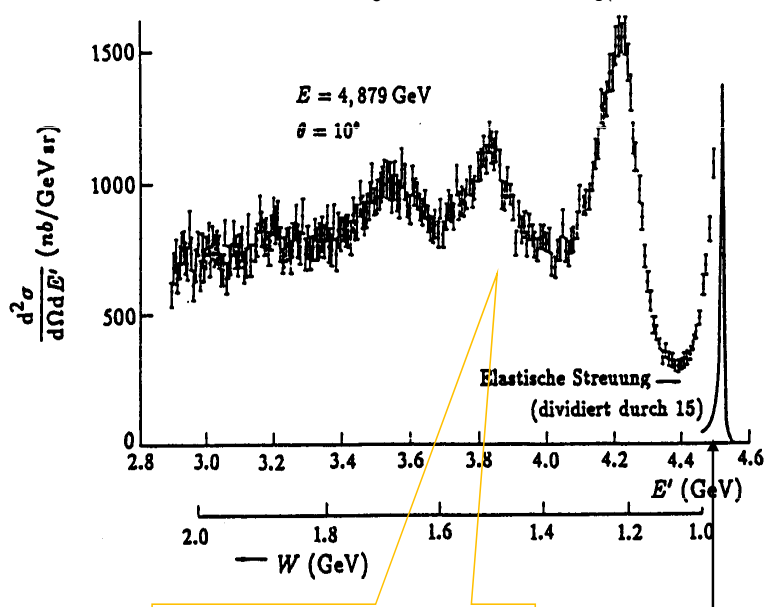
am Atomkern: $E_e = 0.495 \text{ GeV}$
 $\lambda_e = 2.5 \text{ fm} \leq R_A$



angeregte Zustände
des Atomkerns

elastische
Ereignisse

am Nukleon: $E_e = 4.879 \text{ GeV}$
 $\lambda_e = 0.25 \text{ fm} < R_N$

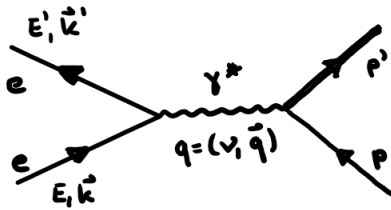


angeregte Zustände
des Nukleons

elastische
Ereignisse

Strukturen bei: $W = 1.232 \text{ GeV}$; 1.52 GeV ; 1.68 GeV ;
 Nukleon lässt sich anregen → Nukleon besitzt Substruktur

240



$$\hbar = c = 1$$

$$p' = p + q$$

$$p'^2 = p^2 + q^2 + 2pq$$

$$W^2 = H^2 - Q^2 + 2H\nu$$

z.B. Masse des angeregten Zustands

$$p \cdot q = \begin{pmatrix} H \\ 0 \end{pmatrix} \cdot \begin{pmatrix} \nu \\ \vec{q} \end{pmatrix}$$

$$\Rightarrow \frac{p \cdot q}{H} = \nu$$

größere Masse

$$W^2 > H^2$$

$$\Rightarrow W^2 - H^2 = 2H\nu - Q^2 > 0$$

$$2H\nu > Q^2$$

$$\Leftrightarrow 1 > \underbrace{\frac{Q^2}{2H\nu}}_{=x} > 0 \text{ für } Q^2 > 0$$

elast. Streuung:

$$W^2 = H^2$$

$$\Rightarrow x = \frac{Q^2}{2H\nu} = 1$$

241

Elastische / inelastische Streuung \Leftrightarrow Strukturfunktionen

$$W^2 c^2 = M^2 c^2 + 2M\nu - Q^2$$

für $W = M$ (elastische Streuung) $\rightarrow 2M\nu - Q^2 = 0$

\rightarrow nur ein freier Parameter, alle anderen Größen festgelegt

einlaufende Teilchen =
auslaufende Teilchen

Anders im inelastischen Fall :

$$W > M \rightarrow 2M\nu - Q^2 > 0$$

einlaufende Teilchen \neq
auslaufende Teilchen

\Rightarrow 2 unabhängige Parameter (E', θ) oder (Q^2, ν)

Erzeugung von Hadronen (über Resonanz oder direkt)

Formfaktoren bei inelastischer Streuung: Strukturfunktionen W_1, W_2

anstelle der Rosenbluth-Formel:

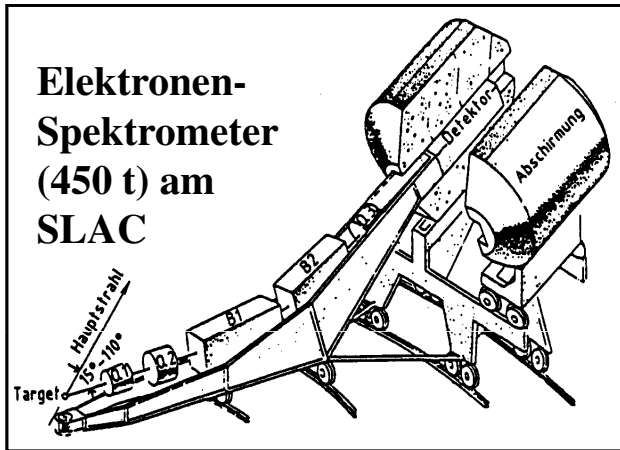
$$\left(\frac{d^2\sigma}{d\Omega dE'} \right) = \left(\frac{d\sigma}{d\Omega} \right)_{\text{Mott}}^* \cdot \left\{ W_2(Q^2, \nu) + 2W_1(Q^2, \nu) \tan^2(\theta/2) \right\}$$

242

Inelastische Elektron-Proton-Streuung

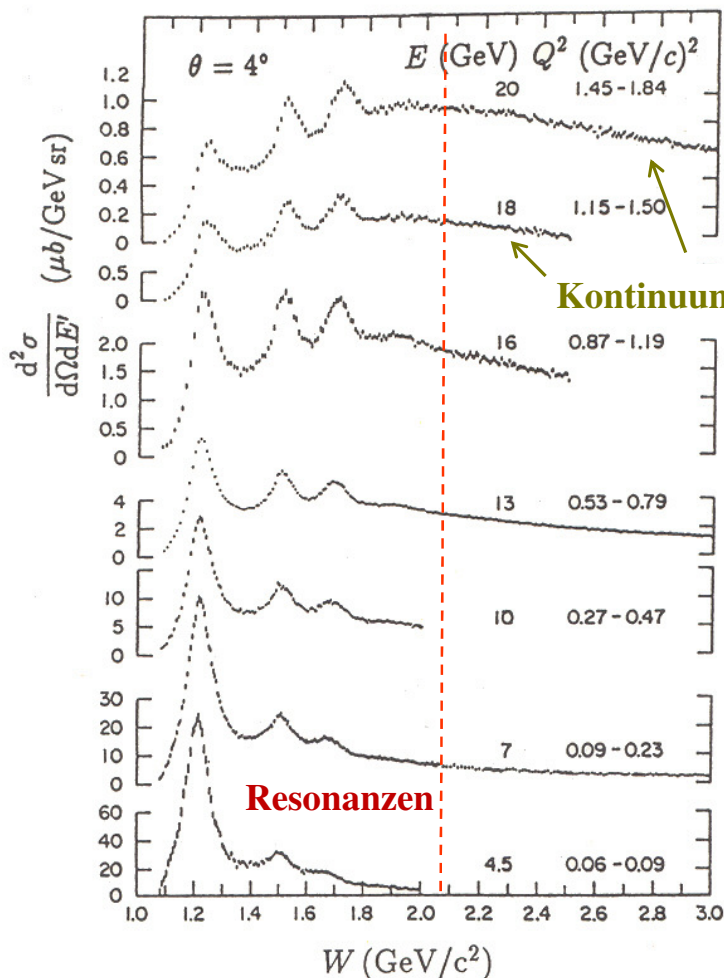
$$e + p \rightarrow e' + X \text{ bei } E_e = 20 \text{ GeV}$$

Freedman, Kendall, Taylor : Nobelpreis 1990



243

Tief-inelastische Streuung



$$e + p \rightarrow e' + X$$

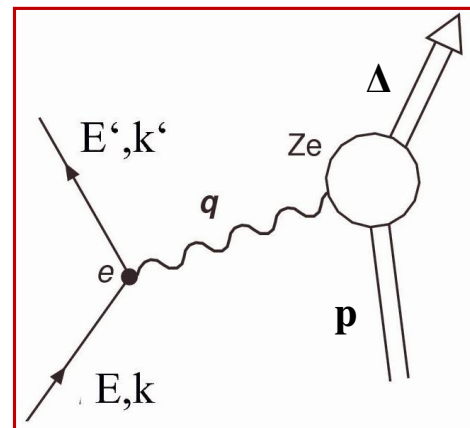
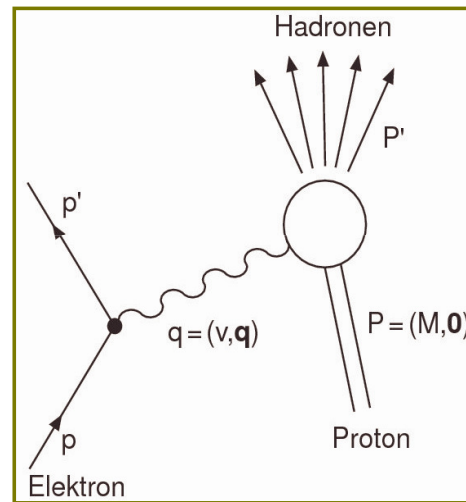
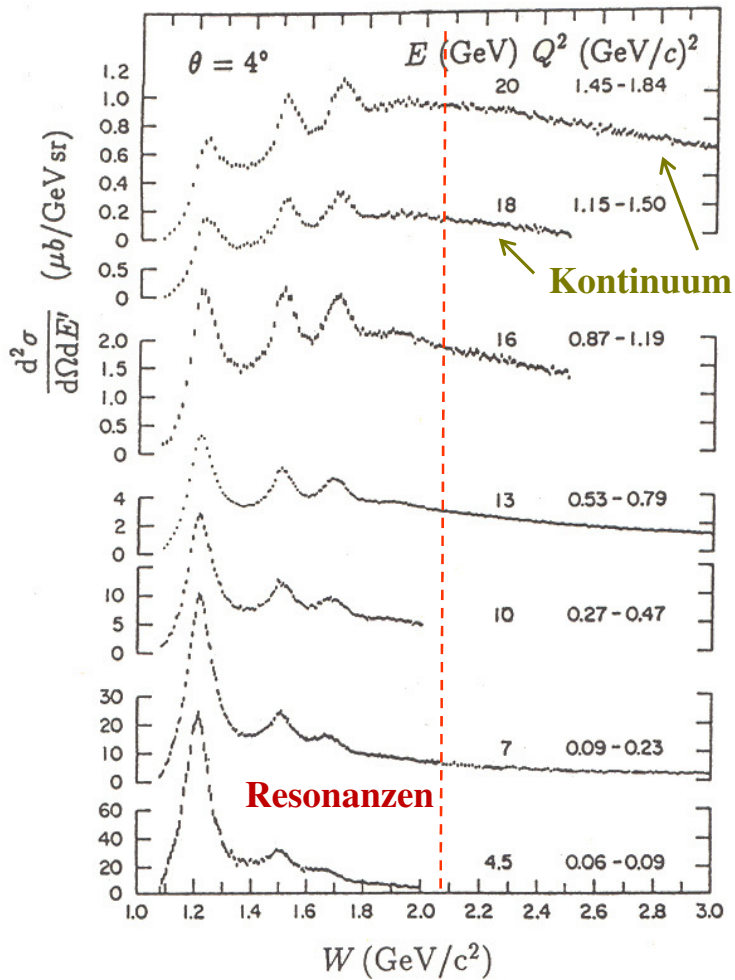
Kontinuum, keine Resonanzen

=> Keine starke Q^2 -Abhängigkeit

=> Wirkungsquerschnitt zeigt starken Abfall mit Q^2 im Resonanzbereich ($Wc^2 < 2 \text{ GeV}$)

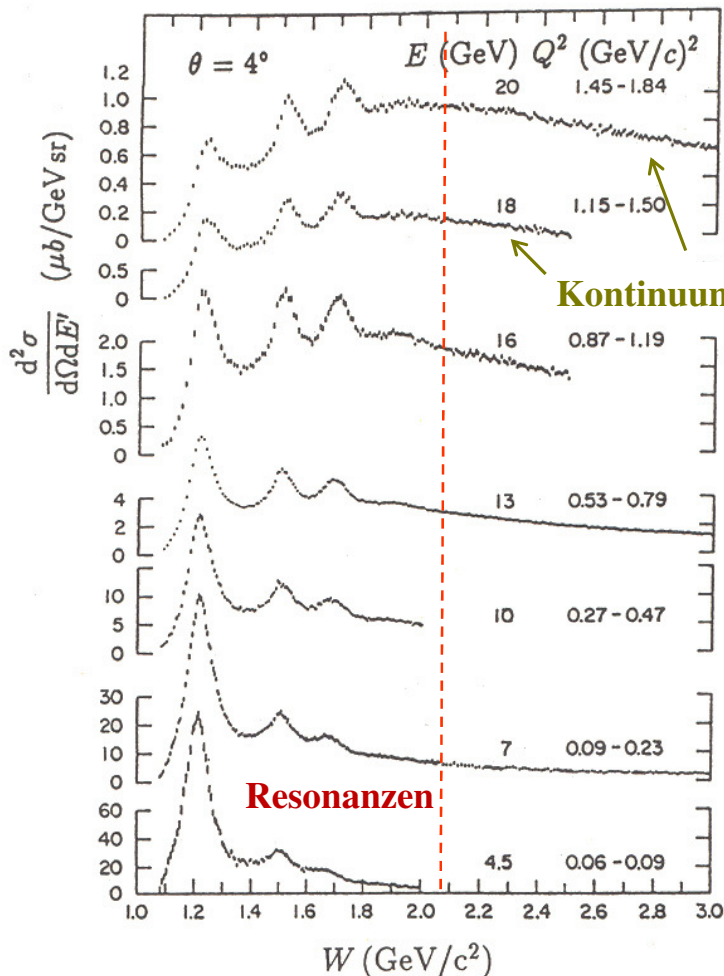
244

Tief-inelastische Streuung



245

Tief-inelastische Streuung



$$e + p \rightarrow e' + X$$

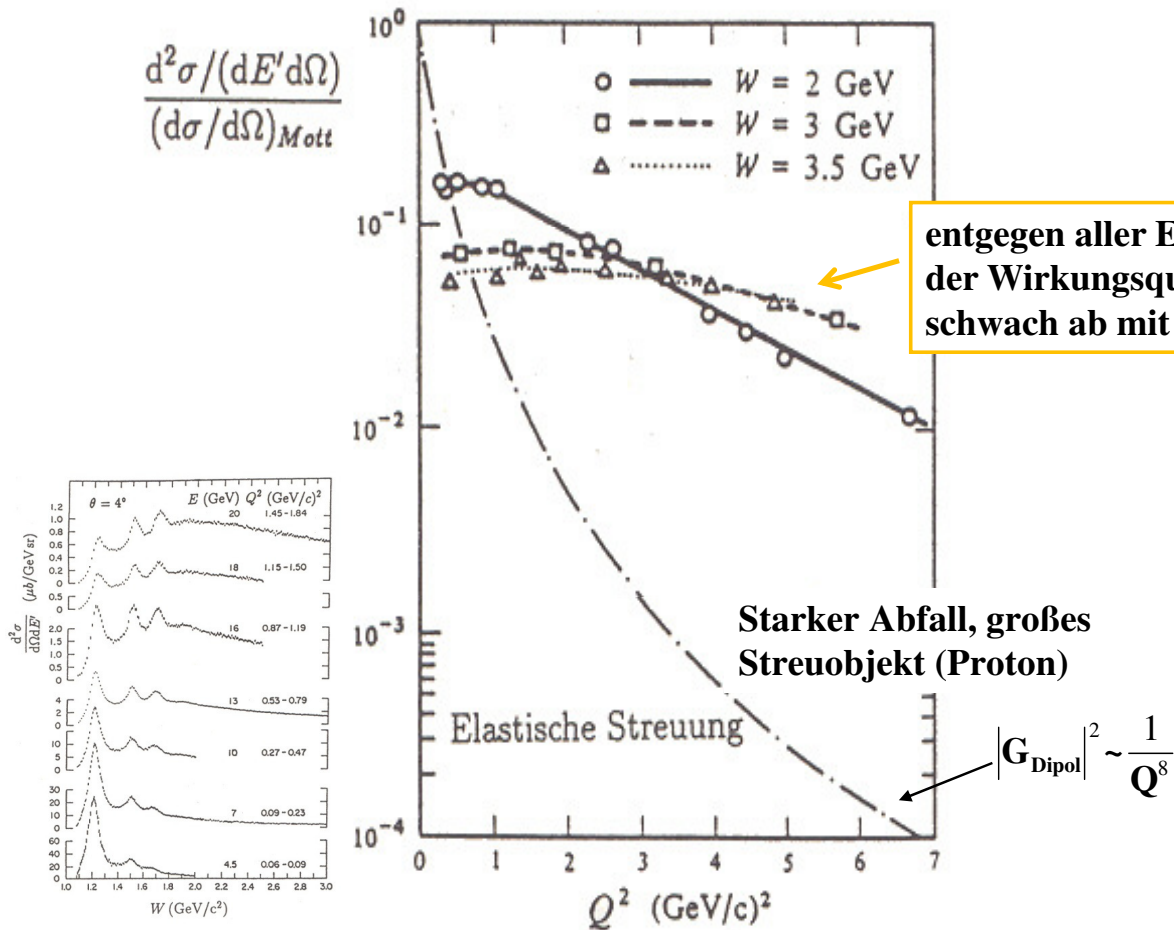
Kontinuum, keine Resonanzen

=> Keine starke Q^2 -Abhängigkeit

=> Wirkungsquerschnitt zeigt starken Abfall mit Q^2 im Resonanzbereich ($Wc^2 < 2 \text{ GeV}$)

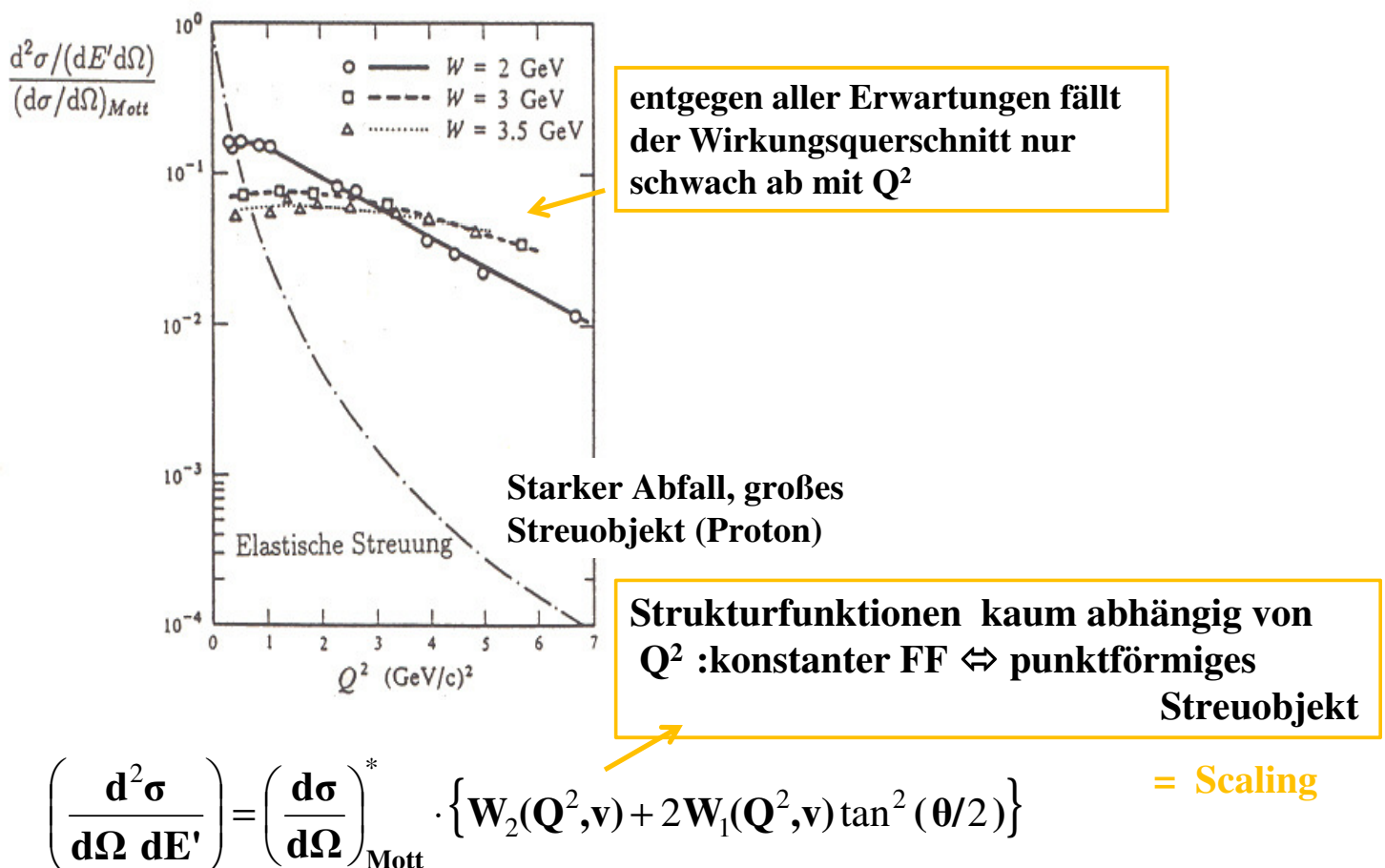
246

Tief-inelastische Streuung



247

Tief-inelastische Streuung



248

Zur weiteren Diskussion, einführen von:

- Bjorkensche Skalenvariable (lorentzinvariant)

$$x = \frac{Q^2}{2Mv} = \frac{Q^2}{2Pq}$$

= dimensionslose Größe

Elastische Streuung $W = M$

$$\Rightarrow x = 1$$

Inelastische Streuung $W > M$

$$\Rightarrow 0 < x < 1$$

- bisher : Strukturfunktionen $W_1(Q^2, v), W_2(Q^2, v)$

$$\text{in } \left(\frac{d^2\sigma}{d\Omega dE'} \right) = \left(\frac{d\sigma}{d\Omega} \right)_{\text{Mott}}^* \cdot \{ W_2(Q^2, v) + 2W_1(Q^2, v) \tan^2(\theta/2) \}$$

ersetzen durch dimensionslose Strukturfunktionen

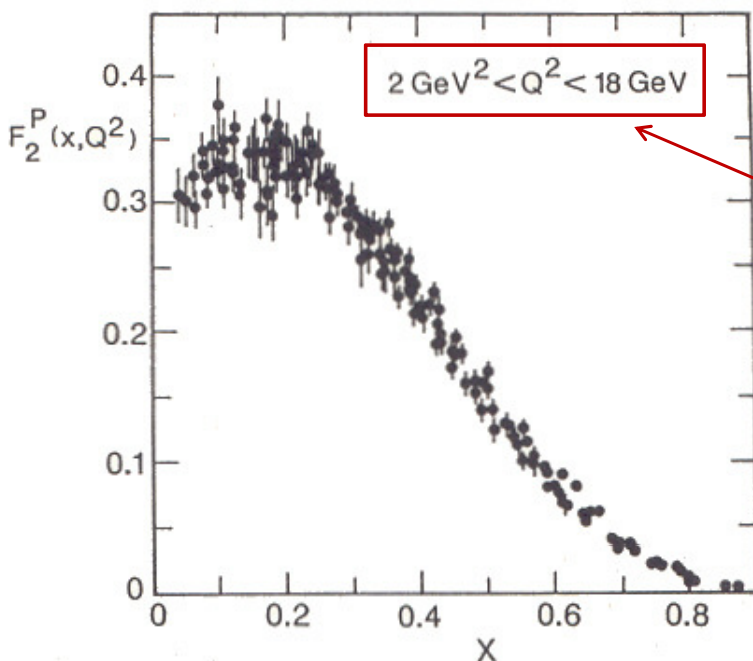
$$F_1(x, Q^2) = Mc^2 \cdot W_1(Q^2, v)$$

$$F_2(x, Q^2) = v \cdot W_2(Q^2, v)$$

249

Tief-inelastische Streuung

$$F_2(x, Q^2) = v \cdot W_2(Q^2, v)$$



**Großer Q^2 -Bereich
 \Rightarrow Praktisch keine
 Q^2 -Abhängigkeit !!!!**

$$x = \frac{Q^2}{2Mv} = \frac{Q^2}{2Pq}$$

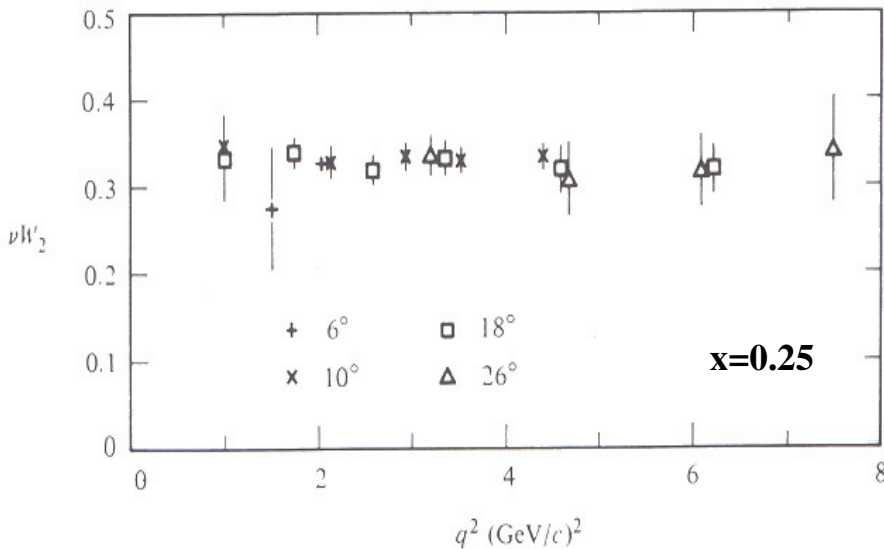
$F_2(x, Q^2) \approx F_2(x)$ nur geringfügige Abhängigkeit von Q^2 ; d.h. trotz besserer Auflösung mit steigendem Q^2 bleibt die Strukturfunktion (Formfaktor) \approx konstant.....

250

$$F_2(x, Q^2) = v \cdot W_2(Q^2, v)$$

Beobachtung : Praktisch keine Q^2 –Abhängigkeit über großen - Q^2 Bereich

$\Leftrightarrow \approx$ **konstante
Strukturfunktion !!!**
(\Leftrightarrow Formfaktor)



$$x = \frac{Q^2}{2Mv} = \frac{Q^2}{2Pq}$$

Nukleon besitzt eine Struktur aus punktförmigen Konstituenten !!!!

\Leftrightarrow Was sind das für Konstituenten ???

- Spin = ?

251

Tief-inelastische Streuung - Spin der Konstituenten = ?

$$\left(\frac{d^2\sigma}{dQ^2 dx} \right) = \frac{4\pi\alpha^2}{q^4} \frac{E'}{E} \cdot \cos^2(\theta/2) \cdot \frac{1}{x} \left\{ F_2(x) + \frac{Q^2}{2M^2 x^2} \cdot 2x \cdot F_1(x) \tan^2(\theta/2) \right\}$$

($\hbar = c = 1$)

• Was ist der Spin der punktförmigen Konstituenten?

Vergleich mit Streuung an punktförmigen Teilchen mit $S=1/2$

$$\begin{aligned} \left(\frac{d\sigma}{dQ^2} \right) &= \frac{4\pi\alpha^2}{q^4} \cdot \left(\frac{E'}{E} \right) \cos^2(\theta/2) \cdot \left\{ 1 + 2\tau \tan^2(\theta/2) \right\} \\ &= \frac{4\pi\alpha^2}{q^4} \cdot \left(\frac{E'}{E} \right) \cos^2(\theta/2) \cdot \left\{ 1 + \frac{Q^2}{2m^2} \tan^2(\theta/2) \right\} \end{aligned}$$

$$\rightarrow \tau = \frac{Q^2}{4m^2}$$

**Streuung wie an punktförmigen Teilchen mit $S = 1/2$,
falls $2xF_1(x) = F_2(x)$ und Masse $m = x \cdot M$**

$$\left(\frac{d^2\sigma}{dQ^2 dx} \right) = \frac{4\pi\alpha^2}{q^4} \frac{E'}{E} \cdot \cos^2(\theta/2) \cdot \frac{1}{x} \left\{ \underline{F_2(x)} + \frac{Q^2}{2M^2 x^2} \cdot \underline{2x \cdot F_1(x) \tan^2(\theta/2)} \right\}$$

($\hbar = c = 1$)

• Was ist der Spin der punktförmigen Konstituenten?

Vergleich mit Streuung an punktförmigen Teilchen mit $S=1/2$

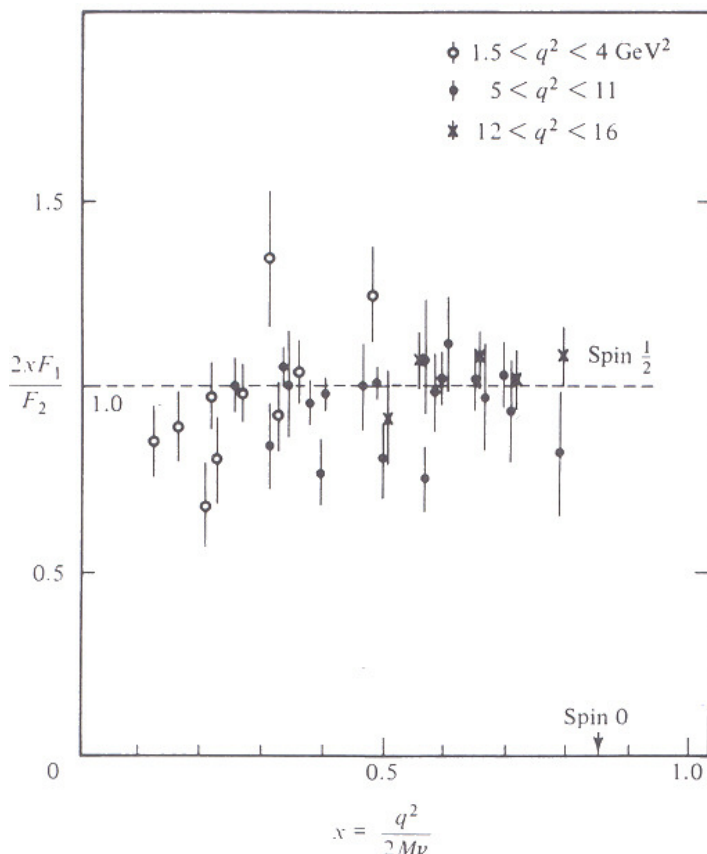
$$\begin{aligned} \left(\frac{d\sigma}{dQ^2} \right) &= \frac{4\pi\alpha^2}{q^4} \cdot \left(\frac{E'}{E} \right) \cos^2(\theta/2) \cdot \left\{ 1 + 2\tau \tan^2(\theta/2) \right\} \\ &= \frac{4\pi\alpha^2}{q^4} \cdot \left(\frac{E'}{E} \right) \cos^2(\theta/2) \cdot \left\{ 1 + \frac{Q^2}{2m^2} \tan^2(\theta/2) \right\} \end{aligned}$$

$$\rightarrow \tau = \frac{Q^2}{4m^2}$$

Streuung wie an punktförmigen Teilchen mit $S = 1/2$,
falls $2xF_1(x) = F_2(x)$ und Masse $m = x \cdot M$

253

Callan-Gross-Relation: experimentelle Überprüfung



Experiment ergibt:

$$\frac{2xF_1}{F_2} = 1 \quad \text{unabhängig von } Q^2$$

→ Die punktförmigen Konstituenten des Nukleons haben Spin $1/2$!

wäre z.B. der Spin des Partons = 0 :

→ kein $\tan^2(\theta/2)$ Term, da keine magnetische WW ($F_1 = 0$)

254

Tief-inelastische Streuung - Partonen -

tiefinelastische Streuung am Parton = inkohärente Summe der WW des virtuellen Photons mit individuellen Partonen (elastische Streuung an Konstituenten des Protons); Partonmodell (Feynman 1969)

Solange die Konstituenten (im Rahmen der Auflösung) punktförmig sind, besitzen sie keine Substruktur und können daher nicht angeregt werden
→ nur elastische Streuung möglich, bei der die Identität der Streupartner nicht geändert wird

Wirkungsquerschnitt abhängig von einer Zahl x
(dimensionslos; keine Massen-, Längen- oder Energieskalen involviert!)

Skaleninvarianz!

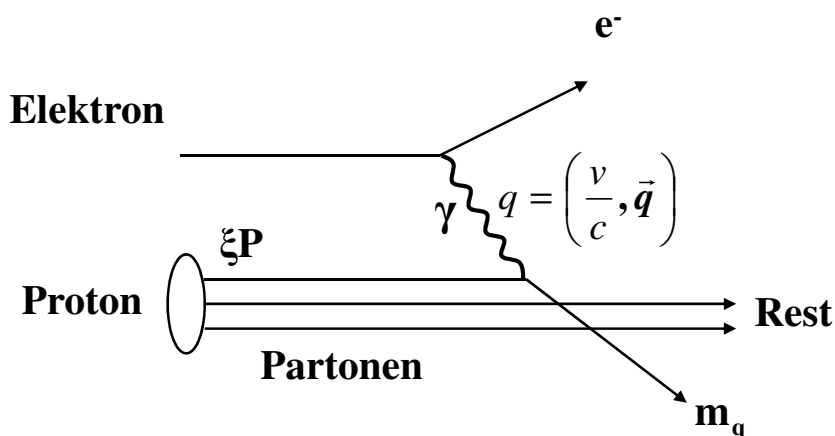
Partonen werden heute mit den Quarks identifiziert

Erste Evidenz für Quarks: Aus der Beobachtung von Mesonen und Baryonen (Bindungszustände der starken WW) ... etwas später in der VL ...

255

Tief-inelastische Streuung - Partonmodell -

Interpretation im Partonmodell: Was ist die Bedeutung von x ?



Betrachtung im „infinite momentum frame“ d.h. schnell bewegtes Nukleon, Transversalbewegung der Protonen vernachlässigbar

Parton hat den Anteil ξP des 4-Impulses des Protons

Wechselwirkung des Elektrons mit dem Proton = inkohärente Summe der Wechselwirkung mit den Partonen (elastische Streuung)

(Stoßnäherung)

256